

28 mai 2025

## TP3 - 234 - Correction numérique (Préparation)

Scott Hamilton

Ibrahim El Kassimi

Encadrement par Cécile Durieu

### Table des matières

1. Préparation 1 .....	2
2. Préparation 2 .....	2
3. Préparation 3 .....	4
4. Préparation 4 .....	5
4.1. Méthode pour la synthèse de la correction analogique .....	5
4.2. Correction numérique par méthode des rectangles .....	6
4.3. Correction numérique par méthode de Tustin (trapèzes) .....	6
4.4. Vérification .....	7

# 1. Préparation 1

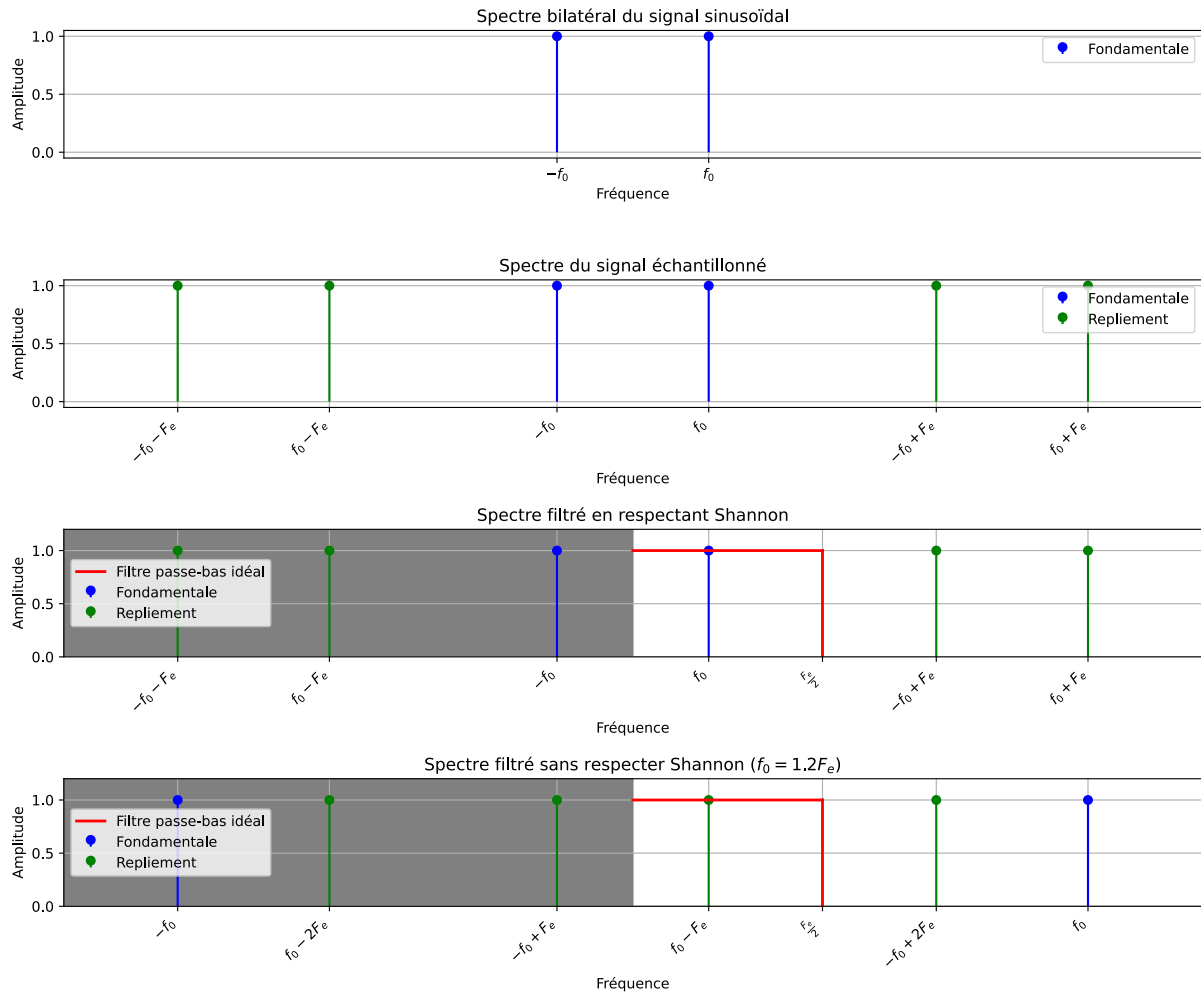


Fig. 1. – Principe du filtre anti-repliement

**REMARQUE:** On néglige le facteur  $\frac{1}{T_e}$  sur les amplitudes de spectre pour les signaux échantillonnés.

On voit bien Fig. 1 la nécessité de respecter la condition de Shannon ( $f_0 < 2F_e$ ) pour s'assurer que le filtrage anti-repliement représente bien le signal initial.

- Dans le cas  $f_0 < \frac{F_e}{2}$ , le signal obtenu est exactement le signal d'entrée, un sinus de fréquence  $f_0$  et de même amplitude
- Dans le cas  $f_0 = 1, 2F_e$ , le signal obtenu présente des battements, il s'agit d'un sinus de fréquence  $f_0 - F_e = 0, 2F_e$  et de même amplitude

## 2. Préparation 2

Pour un correcteur proportionnel  $C(p) = K_p$ , on obtient la FTBF suivante

$$T_{BF}(p) = \frac{K_p}{1+K_p} \frac{1}{1 + \frac{2m}{\omega_0(1+K_p)}p + \frac{p^2}{\omega_0^2}} = \frac{K_1}{1 + \frac{2m_1}{\omega_1}p + \frac{p^2}{\omega_1^2}} \text{ avec } \begin{cases} \omega_1 = \omega_0 \sqrt{1+K_p} \\ m_1 = \frac{m}{\sqrt{1+K_p}} \end{cases}$$

Pour  $K_p = 20$ , on obtient les valeurs suivantes

- $\omega_1 = 591 \text{ rad/s}$
- $m_1 = 0,109$

- $t_{r,5\%}=50 \text{ ms}$

- $D_{1\%}=70\%$

On lit sur le Tableau 1,  $\Phi(\omega = 209 \text{ rad/s}) = -135^\circ$ . Or  $G_{\text{dB}}(\omega = 209 \text{ rad/s}) = -7,2 \text{ dB}$ .

Donc pour assurer une marge de phase  $M_\Phi = 45^\circ$ , il suffit d'imposer  $K_p=K_{45}=7,2 \text{ dB}=2,29$ .

La marge de gain vaut  $+\infty$ . En effet, pour un système du second ordre, la phase à  $-180^\circ$  n'est jamais atteinte.

Pour  $K_p = K_{45}$ , on s'attend aux performances suivantes

- $t_{r,5\%}=43 \text{ ms}$

- $D_{1\%}=40\%$

### 3. Préparation 3

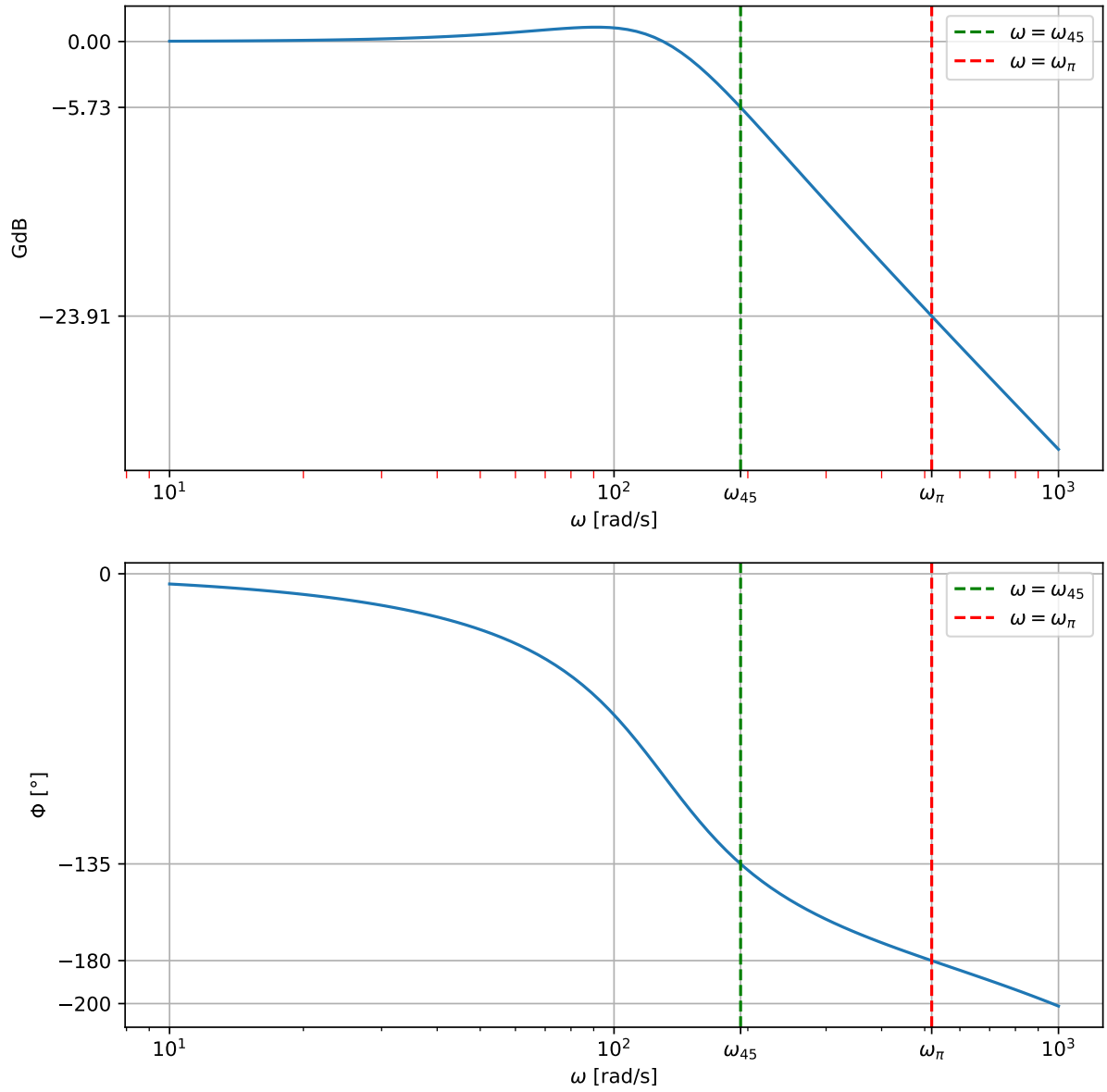


Fig. 2. – Diagramme de Bode de la FTBO avec retard et correcteur proportionnel,  $\begin{cases} T_e=1 \text{ ms} \\ K_p=1 \end{cases}$

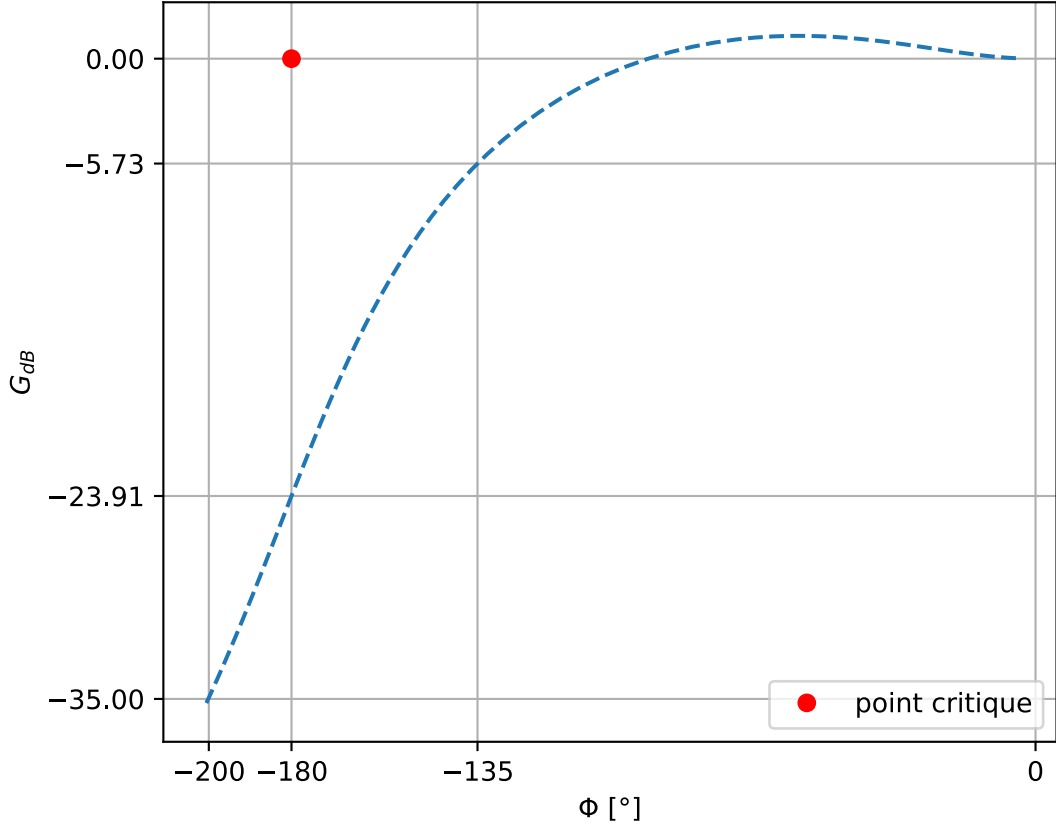


Fig. 3. – Diagramme de Black de la FTBO avec retard et correcteur proportionnel,  $\begin{cases} T_e=1 \text{ ms} \\ K_p=1 \end{cases}$

On lit Fig. 2 et/ou Fig. 3  $G_{dB}(\omega_{45}) = -5,73 \text{ dB}$  donc pour une marge de phase de  $45^\circ$ , on impose

$$K_p = 5,73 \text{ dB} = 1,93$$

On lit aussi  $G_{dB}(\omega_\pi) = -23,91 \text{ dB}$ . Donc la limite d'instabilité est atteinte pour

$$K_p = 23,91 \text{ dB} = 15,7$$

**Pour  $T_e = 5 \text{ ms}$**

En reprenant la même analyse pour  $T_e = 5 \text{ ms}$ , on obtient une marge de phase de  $45^\circ$  pour

$$K_p = 2,45 \text{ dB} = 1,3$$

et une limite d'instabilité pour

$$K_p = 10,4 \text{ dB} = 3,3$$

## 4. Préparation 4

Correcteur PI,  $C(p) = K_p \left(1 + \frac{1}{T_i p}\right) = K_p \frac{1+T_i p}{T_i p}$

### 4.1. Méthode pour la synthèse de la correction analogique

Pour choisir  $K_p$  et  $T_i$  de façon à assurer une marge de phase de  $45^\circ$ , on raisonne ainsi.

En assurant  $\omega_0 = \frac{1}{T_i}$  soit  $T_i = \frac{1}{\omega_0} \stackrel{\text{A.N.}}{=} 7,75 \text{ ms}$ , on a

$$\Phi_{BO}(\omega_0) = \underbrace{(-90^\circ)}_{\text{2ème ordre du processus}} + \underbrace{(-45^\circ)}_{\text{1er ordre du correcteur}} = -135^\circ = (-180 + 45)^\circ \quad [1]$$

Il ne reste donc plus qu'à forcer le gain  $G_{\text{BO,dB}}(\omega_0) = 0 \text{ dB}$ .

Soit

$$G_{\text{BO,dB}}(\omega_0) = \underbrace{20 \log(K_p) + 3\text{dB}}_{\text{correcteur}} + \underbrace{20 \log\left(\frac{1}{2m}\right)}_{\text{résonnance du 2ème ordre}} = 0 \text{ dB} \quad [2]$$

Ainsi  $20 \log(K_p) = -3\text{dB} + \underbrace{20 \log(2m)}_{\text{car } 2m=1}$  ie  $K_p = \frac{1}{\sqrt{2}} \approx 0,707$

#### 4.2. Correction numérique par méthode des rectangles

$$C(z) = K_p \left( 1 + \frac{T_e}{T_i(1-z^{-1})} \right) = K_p \frac{1 + \frac{T_e}{T_i} - z^{-1}}{1 - z^{-1}}$$

#### 4.3. Correction numérique par méthode de Tustin (trapèzes)

$$C(z) = K_p \left( 1 + \frac{T_e(1+z^{-1})}{2T_i(1-z^{-1})} \right) = K_p \left( 1 - \frac{T_e}{2T_i} \right) \frac{\frac{2T_i+T_e}{2T_i-T_e} - z^{-1}}{1 - z^{-1}}$$

#### 4.4. Vérification

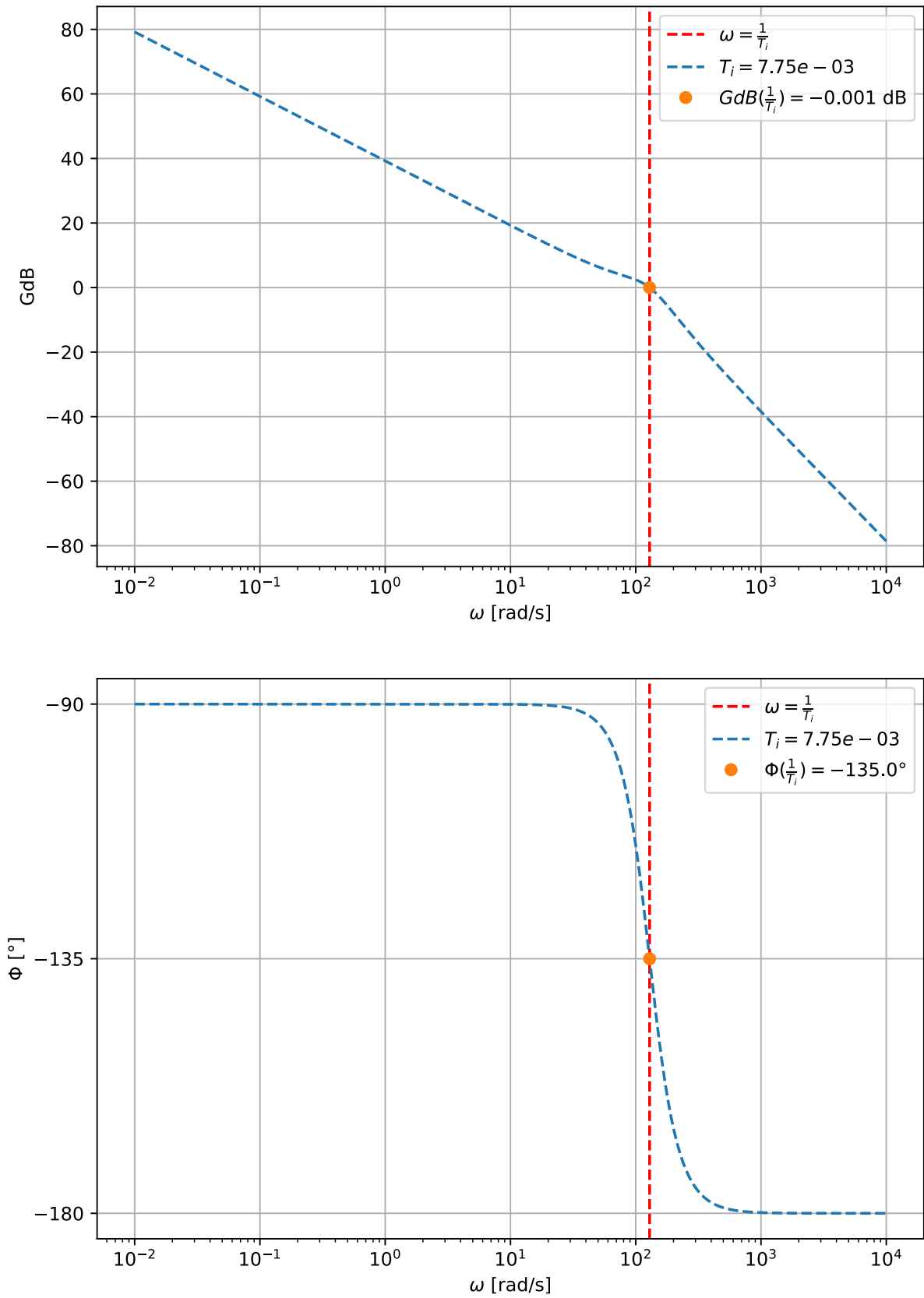


Fig. 4. – Diagramme de Bode de la FTBO avec correcteur PI, ( $T_e = 1$  ms)